

КАЛЬЦИФИРЫ В ВЫСОКОБАРИЧЕСКИХ МЕТАГАББРО ХОРДЬЮССКОГО КОМПЛЕКСА (ПОЛЯРНЫЙ УРАЛ)

А.А. Ефимов, Т.А. Потапова

Ксеногенные включения карбонатного материала в породах габбро-гипербазитовых комплексов – достаточно редкое явление. Один из достоверных случаев – находка при геологической съемке в конце 50-х гг. в верховьях р. Хулги силикатно-карбонатных пород (кальцифиров) среди метагабброидов южного окончания Войкарского оphiолитового альтохона. Об этой находке впервые упоминают А.А. Савельев и Г.Н. Савельева [1977]: «*Среди гранат-циозитовых амфиболитов встречено линзовидное тело мраморизованных известняков... известняки... обогащены оливином, диопсидом и гроссуляром, апатитом и магнетитом. Образования такого типа... рассматривают... как скарнированные известняки, метаморфизованные изофациально с вмещающими породами*». Это наиболее полное из имеющихся описаний находки; размеры тела кальцифиров указывались разные – от 80 × 300 до 100 × 600 м [Савельева, 1987]. Второе местонахождение таких же кальцифиров обнаружено авторами статьи в аналогичной обстановке в 120 км севернее известного, на крутом правом склоне троговой долины р. Левой Лагорты, спускающейся к ледниковым озерам. Оба местонахождения находятся в границах выделяемого в Западно-Войкарской зоне Хордьюсского высокобарического метагабброидного комплекса, юж-

ное – в Хулгинском, северное – в Хордьюсском его сегменте [Ефимов, Потапова, 1990, 2000].

В первом местонахождении, которое авторы, по указаниям Г.Н. Савельевой, смогли найти на пологом водоразделе рек Хаймаю и Хребетвожа, не удалось наблюдать линзовидную форму тела кальцифиров, как и контакты тела; во всех случаях кальцифирь наблюдались преимущественно в элювиальных развалих. Возможно, что здесь в большом поле гранатовых габбро-амфиболитов присутствует не одно, а целая серия мелких тел (длинная ось площади рассеяния глыб составляет не менее 1,5 км). Довольно неожиданным оказалось то, что кальцифирь (из первоначальных описаний этого не следовало) представляют собой тектонические брекции, в которых более или менее округлые включения темной силикатной породы – гранатового амфиболита – сцеплены светло-серой, обычно мелко- или среднезернистой силикатно-карбонатной массой. Размер включений амфиболитов варьирует от нескольких миллиметров до долей метра (возможно, есть и более крупные), местами наблюдается их грубая ориентировка, группировка в прерывистые слоебразные скопления; узловато-полосчатое строение пород хорошо заметно на корке выветривания (рис. 1). Из этого следует, что кальцифирь слагают в гранатовых амфиболитах изолированные тела, переполненные фрагментами вмещающей породы. Форма этих тел, безусловно, вторичная, обусловленная пластическим течением карбонатного материала, и должна быть весьма прихотливой.

По химическому составу цемент брекций и включения в нем резко различны. Крупные фрагменты в брекциях в наибольшей степени сохраняют химизм обычных хордьюсских габбро-



Рис. 1. Текстура тектонических брекций: включения гранатовых амфиболитов в силикатно-карбонатной массе

Таблица 1

Химический состав кальцифиров (мас.%)

№ обр.	SiO ₂	TiO ₂	Al ₂ O ₃	Fe ₂ O ₃	FeO	MnO	MgO	CaO	K ₂ O	Na ₂ O	P ₂ O ₅	П.п.п	Сумма	Sr
Силикатно-карбонатный цемент брекчий														
15678	20,87	0,36	7,31	2,77	2,64	0,07	3,23	36,87	0,25	1,5	0,07	23,83	99,82	—
15679	32,99	0,38	10,09	6,34	—	0,11	3,68	27,29	0,4	—	0,14	—	81,43	507
15681	23,88	0,40	8,85	3,44	3,13	0,09	3,53	34,12	0,2	1,56	0,07	20,50	99,97	—
15684	39,73	0,46	15,17	7,57	—	0,11	4,58	20,29	0,18	—	0,07	—	88,17	725
15685	14,50	0,16	4,08	3,09	—	0,70	3,33	44,54	0,27	—	0,10	—	70,77	505
15687	23,92	0,22	5,85	4,48	—	0,09	3,35	37,58	0,19	—	0,14	—	75,82	546
15689	13,37	0,20	4,50	1,95	1,39	0,05	3,32	52,01	0,2	0,69	0,07	22,03	99,81	—
15692	20,64	0,37	7,12	2,58	2,92	0,07	3,42	37,12	0,17	1,54	0,10	23,72	99,84	—
15694	16,48	0,16	4,61	2,88	—	0,06	3,47	44,00	0,28	—	0,12	—	72,10	480
15695	27,74	0,28	6,29	4,28	—	0,09	3,46	35,30	0,16	—	0,16	—	77,76	540
15697	23,64	0,16	4,51	3,14	—	0,15	2,93	40,50	0,05	—	0,16	—	75,24	—
Включения гранатовых амфиболитов в цементе брекчий														
15681	44,69	0,78	19,18	5,22	6,53	0,161	5,48	12,85	0,53	3,08	0,021	1,26	99,83	—
15692	47,34	1,04	17,13	4,15	8,69	0,218	4,77	9,32	0,6	4,53	0,162	1,83	99,83	—
15694	49,64	1,14	16,23	4,39	6,88	0,271	4,15	10,87	0,31	4,11	0,199	1,58	99,82	—
15699	44,90	0,86	17,82	5,52	6,98	0,196	4,66	12,40	0,22	3,63	0,106	2,49	99,83	557

Примечание. Все анализы выполнены в Центральной лаборатории «Уралгеологии».

амфиболитов (табл. 1; [Ефимов, Потапова, 2000]) и состав, в котором преобладают роговая обманка, клиноцоизит и пиральспитовый гранат; обычны кислый плагиоклаз и акцессорный рутил. Концентрации Sr во включениях и цементе (550–700 г/т) близки к таковым вмещающих амфиболитов. Мелкие фрагменты реагируют с цементом, превращаясь частично или целиком в агрегат, главным образом, карбоната и светло-зеленого клинопироксена, к которым могут присоединяться кальциевый гранат и везувиан; некоторые фрагменты превращаются в грубозернистый везувиан-гранат-клиноцоизитовый скарн.

Цемент брекчий, отношение карбонат/силикаты в котором обычно больше 1, имеет порфирокластическую или гранобластовую структуру с явными признаками пластического течения. Главные черты его химического состава (табл. 1) – недосыщенность кремнеземом и пересыщенность известью, что приводит к появлению ассоциации кальциевых минералов, характерной для известковых скарнов. Карбонат ассоциирует с переменными количествами клинопироксена, роговой обманки, граната, клиноцоизита, везувиана; довольно обычны кварц, плагиоклаз, сфен, апатит, бледно-зеленая слю-

да. Оливин, упоминавшийся выше, не обнаружен; очевидно, за него был принят везувиан. Карбонат, содержание которого колеблется, по данным термического анализа и валовых химических анализов, от 48 до 98 %, представлен практически чистым кальцитом, дающим хорошо выраженный эндотермический эффект диссоциации на кривых ДТА при 880–885°C (рис. 2). Наблюдается в шлифах в виде мелкозернистого агрегата или изометричных и удлиненных, часто изогнутых зерен размером от 0,10 мм до нескольких миллиметров. Мелкозернистый кальцит играет роль базиса, цементирующего рассеянные в нем зерна силикатов, микрозондовые анализы которых приведены в табл. 2. Клинопироксен, в шлифах светло-зеленый, относится к высококальциевому диопсид-салиту переменной железистости – от 18 до 40 ат. %, с содержанием Al₂O₃ от 1 до 6 мас. %. Гранат, в шлифах светло-розовый или бесцветный, обогащен CaO (до 36 мас. %, Ca-компонент до 98 мол. %), имеет железистость в пределах от 88 до 98 ат. %, содержит незначительное количество MnO (до 0,45 мас. %) и относится к андрадит-гроссуляровому ряду. Пиральспитовый гранат, характерный для амфиболитов, в цементе, по-видимому, отсутствует. Роговая обманка,

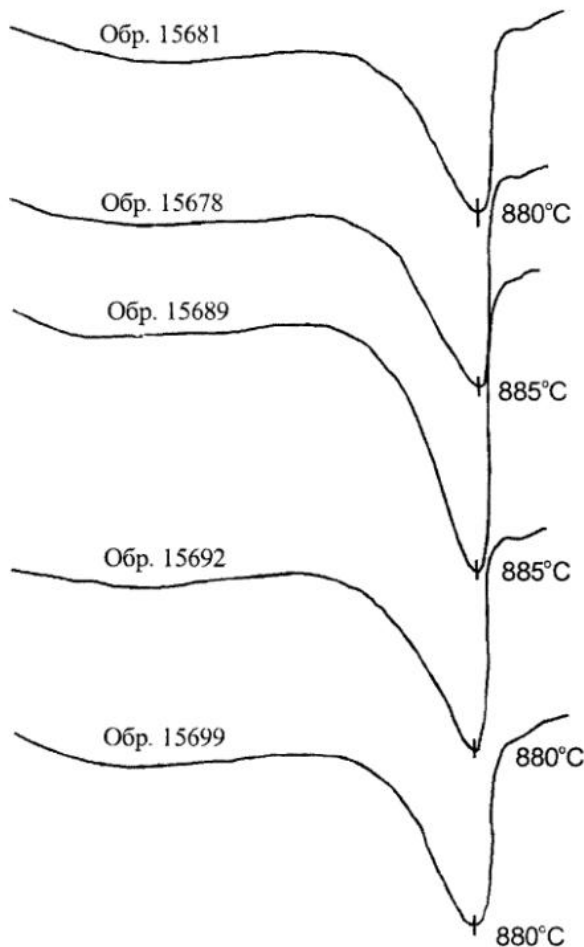


Рис. 2. Кривые ДТА силикатно-карбонатного цемента брекчий

углерода... лежат в довольно узком диапазоне – от 0,3 до 2,1 и соответствуют $\delta^{13}\text{C}$ осадочных карбонатов.» Однако «породы характеризуются пониженными значениями δO^{18} по сравнению с осадочными карбонатами... δO^{18} меняется от 14,0 до 22,7. Наблюдаемое обогащение... легким изотопом ^{16}O является следствием их изотопного обмена с кислородом силикатов».

По имеющимся данным, Хордьюсский комплекс образовался по низкобарическому протолиту, состоявшему из высокостронциевых двупироксеновых и оливиновых габбро, в течение, в первом приближении, двух эпох высокобарического метаморфизма: сначала протолит был преобразован в двупироксеновые и гранатовые габбро-гранулиты, а затем в гранатовые амфиболиты [Ефимов, Потапова, 2000]. В какое время метаморфической истории и в каком виде осадочные карбонатные породы были интегрированы в тело комплекса, остается неясным. Поскольку они присутствуют только в гранатовых амфиболитах и не найдены в габбро-гранулитах и тем более в реликтовых габбро, вероятнее всего считать, что этот захват произошел в гранат-амфиболитовую эпоху, в той же глубинной зоне, где образовались габбро-амфиболиты, и лишь затем масса последних была эксгумирована вместе с включениями ксеногенного осадочного вещества. Во всяком случае, рассматривать кальцифиры как преобразованные магматические ксенолиты в габбро нет оснований.

Очевидная изофациальность кальцифиров и метабазитовой матрицы при резком контрасте в их химизме позволяет считать, что метаморфизм карбонатных пород имел место в тех же условиях, в которых образовались гранатовые амфиболиты. Температуры равновесий амфиболитовой эпохи, оцененные по гранат-амфиболовому геотермометру, не превышали 750° С; косвенное подтверждение этого – отсутствие в кальцифирах волластонита, свидетельствующее о том, что температуры, необходимые для реакции $\text{CaCO}_3 + \text{SiO}_2 = \text{CaSiO}_3 + \text{CO}_2$, не достигались. Возможный интервал флюидного давления на основании находки парагене-

зеленоватая, более магнезиальная, чем в амфиболитах, очень близка по составу к паргаситу. Встречается в виде изометричных, слегка удлиненных зерен. Везувиан в шлифах образует удлиненные, с мягкими очертаниями, как бы окатанные зерна желтовато-коричневой окраски. Клиноцизит желтоватой окраски часто образует графические срастания с плагиоклазом; он несколько беднее железом по сравнению с клиноцизитом из гранатовых амфиболитов.

Приведенные данные подтверждают и уточняют первое заключение о природе кальцифиров [Савельев, Савельева, 1977]. Более детальное их изучение проливает дополнительный свет на историю метаморфизма Западно-Войкарской зоны. Деформированный и рекристаллизованный карбонатный цемент брекчий не несет видимых указаний на его первичную природу, однако изотопные данные, на которые в данном случае только и можно опираться, указывают на возможность осадочной природы карбонатного вещества. Для кальцифиров Хулгинского сегмента В.Н.Кулешов [1983, с. 119] установил, что «значения изотопного состава

Таблица 2

Состав минералов из силикатно-карбонатного цемента брекчий (мас.%)

№ обр.	Минерал	SiO ₂	TiO ₂	Al ₂ O ₃	FeO	MnO	MgO	CaO	K ₂ O	Na ₂ O	Сумма
15679	Клинопироксен	49,39	0,33	4,85	13,4	0,16	8,9	20,66	0,01	1,56	99,26
15694	Клинопироксен	49,96	0,24	6,22	9,81	0,15	9,83	21,34	—	1,6	99,15
15697	Клинопироксен	51,18	0,09	2,89	9,44	0,34	11,96	21,82	0,02	1,27	99,01
16236	Клинопироксен	49,62	0,26	3,69	8,17	0,13	13,52	23,22	0,01	0,79	99,41
16237	Клинопироксен	53,12	0,02	1,09	5,85	0,1	14,54	24,53	0,01	0,02	99,28
15651	Рог.обманка	38,76	0,32	14,7	5,95	0,04	16,86	13,25	—	2,65	94,05
15651	Рог.обманка	38,50	0,22	13,71	6,02	0	16,83	12,67	—	2,55	92,02
15680	Гранат	38,66	0,11	21,24	27,32	1,01	4,76	7,51	—	—	100,61
15679	Гранат	39,07	0,23	20,5	20,74	1,48	3,95	14,89	—	—	100,86
16236	Гранат	38,52	0,09	27,81	6,5	0,03	0,07	24,28	—	—	97,3
15651	Гранат	36,76	1,54	11,77	10,69	0,33	0,79	33,18	0,01	0,05	95,12
15651	Гранат	36,40	1,2	6,01	19,19	0,24	0,6	33,98	0,02	0,05	97,69
15651	Гранат	37,18	1,25	10,69	13,48	0,28	0,77	34,29	0,02	0,02	97,98
15651	Гранат	38,75	—	6,47	19,49	0,33	0,42	34,3	—	—	99,76
15651	Гранат	39,07	—	6,03	20,8	0,24	0,27	34,5	—	—	100,91
15651	Гранат	39,62	—	11,28	14,07	0,41	0,61	34,66	—	—	100,65
15651	Гранат	40,29	—	14,37	11,73	0,45	0,67	34,77	—	—	102,28
15651	Гранат	40,19	—	15,41	9,48	0,41	0,68	34,92	—	—	101,09
15697	Гранат	38,82	0,3	18,22	6,94	0,49	0,4	35,05	—	—	100,22
15695	Гранат	38,94	0,96	15,96	7,85	0,36	0,63	35,55	—	—	100,25
15651	Гранат	39,40	—	11,25	13,7	0,39	0,61	35,71	—	—	101,06
15686	Гранат	38,57	2,49	15,51	6,46	0,29	0,78	35,86	—	—	99,96
15694	Клиноцизит	39,02	—	30,89	2,82	0,08	0,22	23,8	—	0,29	97,12
15697	Клиноцизит	37,55	0,25	18,32	7,36	0,39	0,33	36,17	—	—	100,37
15686	Клиноцизит	38,67	1,66	15,05	7,74	0,55	0,17	35,61	—	—	99,45
15679	Клиноцизит	38,32	0,32	25,4	9,33	0,1	0,2	23,44	0,01	—	97,12
15687	Клиноцизит	38,74	0,26	25,5	9,63	0,28	0,16	23,6	—	—	98,17
15695	Клиноцизит	38,11	0,28	24,66	10,16	0,08	0,29	23,48	0,01	0,19	97,26
16236	Клиноцизит	38,26	0,3	24,3	11,61	0,11	0,37	23,33	0,03	0,09	98,4
15651	Везувиан	36,54	1,02	15,15	3,64	0,08	3,85	33,96	—	—	96,74
15651	Везувиан	36,28	0,81	14,34	4,41	0,12	3,88	34,2	—	—	96,53
15651	Везувиан	36,20	1,28	14,47	4,66	0,1	3,26	36,82	—	—	99,29
15651	Везувиан	37,27	0,92	14,95	4,92	0,11	3,82	35,46	0,01	0,01	97,47
15676	Плагиоклаз	55,07	—	26,05	0,65	0,1	0,07	13,38	0,4	4,5	99,86
16236	Плагиоклаз	67,78	—	20,16	0,00	0,00	0,00	0,9	0,05	10,13	99,02
15680	Мусковит	48,01	0,75	30,52	3,09	0,03	1,78	0,00	9,29	1,26	94,73

Примечание. Микрозондовые анализы выполнены в лаборатории Института геологии и геохимии УрО РАН.

ица парагонит-клиноцизит-кварц оценивается в 10-13 кбар [Ефимов, Потапова, 2000]. Очевидно, те же термобарические условия имели место во время образования кальцифиров. Высокие флюидные давления препятствовали декарбонатизации первичного вещества включе-

ний, а довольно высокие температуры метаморфизма и флюидонасыщенность способствовали химическому обмену между карбонатным материалом и вмещающими базитами, на что указывает обилие новообразованных силикатов в цементе брекчий.

Список литературы

Ефимов А.А., Потапова Т.А. Тектоника нижней (метабазитовой) структурной единицы Войкарского оphiолитового альтохтона на Полярном Урале // Геотектоника. 1990. № 5. С. 45-54.

Ефимов А.А., Потапова Т.А. Высокобарические метагабброидные комплексы в оphiолитах Полярного Урала: метаморфизм «против часовой стрелки» в связи с зоной палеозойской субдукции // Магматические и метаморфические образования Урала и их металлогенез. Сборник, посвященный памяти проф. Д.С.Штейнберга (К 90-летию со дня рождения). Екатеринбург: ИГиГ УрО РАН, 2000. С. 233-268.

Кулешов В.Н. Изотопный состав углерода в породах глубинного (предположительно мантийного) происхождения // Геохимия изотопов в оphiолитах Полярного Урала. М.: Наука, 1983. С.107-124.

Савельев А.А., Савельева Г.Н. Офиолиты Войкаро-Сыньянского массива // Геотектоника. 1977. № 6. С. 46-60.

Савельева Г.Н. Габбро-ультрабазитовые комплексы оphiолитов Урала и их аналоги в современной океанической коре. М.: Наука, 1987. 246 с. (Тр. ГИН АН СССР, № 404)